

УДК 537.635:548:546.72

А. Н. ТЕРЕНТЬЕВСКИЙ, В. Н. ЛАЗУКИН

## РАСЧЕТ ЭПР-СПЕКТРОВ ЭЛЕМЕНТОВ ГРУППЫ ЖЕЛЕЗА В КРИСТАЛЛИЧЕСКИХ РЕШЕТКАХ (I)

Хорошо известно, что системы ЭПР примесных ионов кристаллов часто весьма сложны и представляют серьезные трудности для интерпретации. Математический анализ этих систем в общем случае невыполним, ибо пока не существует общей теории твердого тела, которую можно было бы положить в основу поисков решения в каждом интересующем нас случае. Тем не менее подавляющее число задач возможно интерпретировать совместными усилиями теории возмущений, теории групп и ряда других теорий более узкого назначения. Наибольшими возможностями при теоретической интерпретации экспериментальных спектров систем ЭПР обладает спин-гамильтониановский формализм, получивший в силу этого наибольшее распространение. Обоснованию и многим применениям спин-гамильтониановского формализма посвящена обширная литература. Тем не менее есть много существенных особенностей, нуждающихся в детальном анализе и осмысливании. Предлагаемая работа и преследует цель — заполнить группу таких существенных пробелов. В работе получены спиновые гамильтонианы различного вида симметрии, открывающие возможности детального исследования угловых зависимостей линий тонкой структуры (как разрешенных правилами отбора, так и запрещенных) соответствующих спектров ЭПР ионов группы железа.

**1. Гамильтониан парамагнитной системы.** Одной из важных задач парамагнетизма является теоретическое рассмотрение энергетического состояния спиновой системы парамагнитной примеси. В рамках теории кристаллического поля любая задача такого рода требует написания гамильтониана системы; это можно сделать в виде [1]

$$H = H_{\text{кул}} + H_{\text{кр}} + H_{LS} + H_S, \quad (1)$$

где  $H_{\text{кул}}$  — оператор энергии кулоновского взаимодействия электронов с ядром и взаимодействия электронов друг с другом;  $H_{\text{кр}}$  — оператор энергии кристаллического поля;  $H_{LS}$ ,  $H_{SS}$  — операторы энергий спин-орбитального и спин-спинового взаимодействий соответственно.

Парамагнитные системы элементов группы железа в основном образуют соединения, у которых примесные центры характеризуются набором «хороших» квантовых чисел  $L$  и  $S$ . Для этого типа связи, именуемого раселл-саундерсовским, характерно следующее соотношение величин собственных значений операторов выражения (1):

$$E_{\text{кул}} \simeq E_{\text{кр}} > E_{LS} \gg E_{SS}. \quad (2)$$

Порядок величины  $E_{\text{кул}}$  для элементов группы железа в разных кристаллических решетках варьируется от  $10^3$  до  $10^5$  см<sup>-1</sup> [2]. Возмож-

ные величины  $E_{кр}$  для некоторых решеток, оцененные по результатам экспериментов, не превышают  $10^3-10^4$  см<sup>-1</sup>, т. е. имеют в ряде случаев тот же порядок, что и  $E_{кул}$  [3—10]. Энергия спин-орбитального взаимодействия  $E_{LS}$  некоторых ионов группы железа, по данным работы [11], не превышает  $(0,5-8,0) \cdot 10^2$  см<sup>-1</sup>. И наконец, энергия спинового взаимодействия оценивается величиной порядка 1 см<sup>-1</sup> [12]. Оценки рассмотренных взаимодействий позволяют упростить задачу на собственные значения парамагнитной системы.

**2. Метод получения спин-гамильтониана с помощью эквивалентных операторов.** Формальный метод получения спинового гамильтониана был впервые предложен Абрагамом и Прайсом [13—14]. В данной работе излагается несколько иной способ получения спин-гамильтониана, основанный на использовании метода эквивалентных операторов, разработанного Джаддом [15]. Суть этого метода определяется тем, что гамильтониан, записанный в координатном представлении, преобразуется к операторному виду, причем операторная функция воздействует на спиновые переменные парамагнитной системы. Построение подобной функции требует следующих допущений.

1. Спин-гамильтониан записывается в виде суммы произведений экспериментально определенных констант на операторы спиновых переменных, причем вид этих операторов определяется симметрией системы:

$$\hat{H}_S = \sum g_{L, M} \hat{T}_{L, M}(S). \quad (3)$$

2. Спин-гамильтониан должен быть эрмитовым:

$$\langle m^* | \sum g_{L, M} \hat{T}_{L, M} | n \rangle = \langle n | \sum g_{L, M} \hat{T}_{L, M}^* | m^* \rangle. \quad (4)$$

3. В отсутствие магнитного поля он инвариантен во времени:

$$\hat{K} \hat{H}_S \hat{K}^{-1} = \hat{H}_S, \quad (5)$$

где  $\hat{K}$  — оператор инверсии времени  $t$ .

4. Спин-гамильтониан должен быть инвариантом при всех симметричных преобразованиях, совпадающих с симметрией кристаллической решетки. Учет инвариантности по времени налагает следующие ограничения на оператор:

$$[\hat{T}_{L, M}(S) + (-1)^M \hat{T}_{L, -M}(S)] = (-1)^L [\hat{T}_{L, M}(S) + (-1)^M \hat{T}_{L, -M}(S)]. \quad (6)$$

Принимая во внимание все вышеизложенное, запишем спин-гамильтониан в виде

$$\hat{H}_S = \sum_{L=0, 2, 4} g_{L, M}(S) + (-1)^M \hat{T}_{L, -M}(S). \quad (7)$$

В литературе обычно используются следующие обозначения:

$$g_{L, M} = B_L^M, \quad \hat{T}_{L, M} = \hat{O}_L^M. \quad (8)$$

С учетом зеемановского, тонкого и сверхтонкого расщепления в новых обозначениях получим

$$\hat{H} = g\beta \hat{H}_S + \sum B_L^M \hat{O}_L^M(S) + \hat{A} \hat{S}_I; \quad (9)$$

где  $g$  — фактор спектроскопического расщепления,

$B_L^M$  — константы тонкого расщепления,

$A$  — константа сверхтонкого расщепления.

Развернутая запись спиновых операторов  $O_L^M$  приведена, например, в работах [16, 17].

**3. Операция диагонализации.** Собственные значения оператора (9) можно найти обычным способом, решая соответствующее секулярное уравнение. Такой способ обладает двумя существенными недостатками: 1) приходится вычислять матрицы очень высокого порядка, 2) пропадает возможность теоретического исследования угловой зависимости спектра ЭПР.

Эти трудности легко обойти, используя операцию диагонализации. Физический смысл этой операции довольно прост и сводится к следующему. Спиновая система парамагнитной примеси в кристаллическом

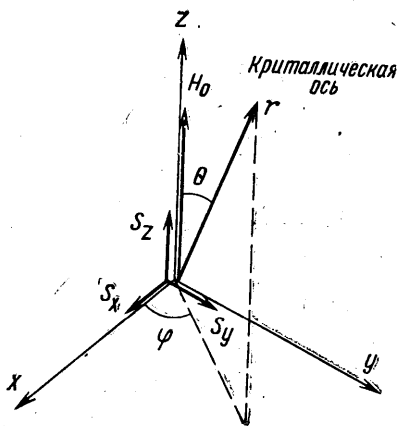


Рис. 1.  $x, y, z$  — лабораторная система координат,  $x', y', z'$  — система кристалла

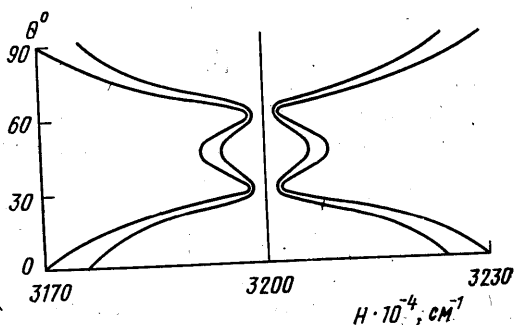


Рис. 2.  $B_4^0 = 0,1 \cdot 10^{-4} \text{ см}^{-1}$ ,  $H_0 = 3200 \text{ Э}$

окружении вследствие симметрии последнего и в присутствии магнитного поля приобретает векторные свойства, т. е. характеризуется координатными компонентами спина. Совмещение главных компонент магнитного поля с компонентами спиновой системы с последующим выявлением угловых закономерностей, возникающих при наличии угла  $\theta$  между главным вектором магнитного поля  $H$  и кристаллографическим направлением, относительно которого определенным образом зафиксирован тензор спиновой системы, и называется операцией диагонализации спин-гамильтониана. Смысл сказанного расшифровывается рис. 1. Спиновая система рассматривается в координатном представлении  $x', y', z'$  и  $x, y, z$ . Переход от одной системы координат к другой осуществляется с помощью преобразования Эйлера. Подобный характер перехода в случае аксиальной симметрии можно найти в монографии Лоу [1]. Характер преобразования операторов  $O_L^M$  при диагонализации рассмотрен в работе [17]. В самом общем случае задачу преобразования потенциальной функции при диагонализации для всех точечных групп вращения решил Сахс [18]. Операция диагонализации преобразу-

ет также и оператор сверхтонкого взаимодействия. Впервые такую задачу для аксиальной симметрии решил Блини [19].

4. Спиновый гамильтониан для различных видов симметрии. Диагонализированный спин-гамильтониан (9) с учетом зеемановского и тонкого расщепления для различных видов симметрии запишется:

1. Кубическая симметрия.

$$\hat{H} = g_z \beta H_z S_z + B_4^0 [a O_4^0 + b O_4^1 + c O_4^2 + d O_4^3 + f O_4^4]. \quad (10)$$

$$a = \frac{1}{8} [35 \cos^4 \theta + 5 \sin^4 \theta - 30 \cos^2 \theta + 3],$$

$$b = -\frac{5}{8} [(7 \cos^2 \theta - 3) \sin 2\theta - 2 \sin^3 \theta \cos \theta],$$

$$c = \frac{5}{8} [(7 \cos^2 \theta - 1) \sin^2 \theta + (1 - \cos^4 \theta)], \quad (11)$$

$$d = -\frac{5}{8} [14 \sin^3 \theta \cos \theta - (\cos^2 \theta + 3) \sin 2\theta],$$

$$f = \frac{5}{16} [7 \sin^4 \theta + \cos^4 \theta + 6 \cos^2 \theta + 1].$$

В явном виде операторы  $O_L^M$  приведены в табл. 1.

2. Гексагональная симметрия.

$$\hat{H} = g_1 \beta H_z S_z + B_2^0 [a_1 O_2^0 + b_1 O_2^1 + c_1 O_2^2] + B_4^0 [a^1 O_4^0 + b^1 O_4^1 + c^1 O_4^2 + d^1 O_4^3 + f^1 O_4^4]. \quad (12)$$

$$a_1 = \frac{3}{2} (3 \cos^2 \theta - 1), \quad a^1 = \frac{1}{8} [35 \cos^4 \theta - 30 \cos^2 \theta + 3],$$

$$b_1 = \frac{3}{4} \sin 2\theta, \quad b^1 = -\frac{5}{8} [(7 \cos^2 \theta - 3) \sin 2\theta],$$

$$c_1 = \frac{3}{4} \sin^2 \theta, \quad c^1 = \frac{5}{8} [7 \cos^2 \theta - 1] \sin^2 \theta, \quad (13)$$

$$d^1 = -\frac{35}{4} \sin^3 \theta \cos \theta,$$

$$f^1 = \frac{35}{8} \sin^4 \theta.$$

3. Тетрагональная симметрия.

$$\hat{H} = g_1 \beta H_z S_z + B_2^0 [a_1 O_2^0 + b_1 O_2^1 + c_1 O_2^2] + B_4^0 [a^1 O_4^0 + b^1 O_4^1 + c^1 O_4^2 + d^1 O_4^3 + f^1 O_4^4] + B_4^1 [a^{11} O_4^0 + b^{11} O_4^1 + c^{11} O_4^2 + d^{11} O_4^3 + f^{11} O_4^4]. \quad (14)$$

$$a^{11} = \frac{1}{8} \sin^4 \theta,$$

$$\begin{aligned}
 b^{\text{II}} &= \frac{1}{4} \sin^3 \theta \cos \theta, \\
 c^{\text{II}} &= \frac{1}{8} (1 - \cos^4 \theta), \\
 d^{\text{II}} &= \frac{1}{8} (\cos^2 \theta + 3) \sin 2\theta, \\
 f^{\text{II}} &= \frac{1}{16} (\cos^4 \theta + 6 \cos^2 \theta + 1).
 \end{aligned} \tag{15}$$

#### 4. Тригональная симметрия.

$$\begin{aligned}
 \hat{H} = g_1 \beta H_z S_z + B_2^0 [a_1 O_2^0 + b_1 O_2^1 + c_1 O_2^2] + \\
 + B_4^0 [a^1 O_4^0 + b^1 O_4^1 + c^1 O_4^2 + d^1 O_4^3 + f^1 O_4^4] + \\
 + B_4^{\text{III}} [a^{\text{III}} O_4^0 + b^{\text{III}} O_4^1 + c^{\text{III}} O_4^2 + d^{\text{III}} O_4^3 + f^{\text{III}} O_4^4].
 \end{aligned} \tag{16}$$

$$\begin{aligned}
 a^{\text{III}} &= \frac{1}{8} \sin^3 \theta \cos \theta, \\
 b^{\text{III}} &= \frac{1}{16} \sin^2 \theta (4 \cos^2 \theta - 1), \\
 c^{\text{III}} &= \frac{1}{8} \sin \theta \cos^3 \theta, \\
 d^{\text{III}} &= \frac{1}{16} (4 \cos^4 \theta + 3 \cos^2 \theta - 3), \\
 f^{\text{III}} &= -\frac{1}{32} (\cos^2 \theta + 2) \sin 2\theta.
 \end{aligned} \tag{17}$$

#### 5. Ромбическая симметрия.

$$\begin{aligned}
 \hat{H} = g_1 \beta H_z S_z + B_2^0 [a_1 O_2^0 + b_1 O_2^1 + c_1 O_2^2] + \\
 + B_2^{\text{IV}} [a^{\text{IV}} O_2^0 + b^{\text{IV}} O_2^1 + c^{\text{IV}} O_2^2] + \\
 + B_4^0 [a^1 O_4^0 + b^1 O_4^1 + c^1 O_4^2 + d^1 O_4^3 + f^1 O_4^4] + \\
 + B_4^{\text{V}} [a^{\text{V}} O_4^0 + b^{\text{V}} O_4^1 + c^{\text{V}} O_4^2 + d^{\text{V}} O_4^3 + f^{\text{V}} O_4^4] + \\
 + B_4^{\text{II}} [a^{\text{II}} O_4^0 + b^{\text{II}} O_4^1 + c^{\text{II}} O_4^2 + d^{\text{II}} O_4^3 + f^{\text{II}} O_4^4].
 \end{aligned} \tag{18}$$

$$\begin{aligned}
 a^{\text{IV}} &= \frac{3}{2} \sin^2 \theta, & a^{\text{V}} &= -\frac{1}{8} [7 \cos^4 \theta - 8 \cos^2 \theta + 1], \\
 b^{\text{IV}} &= \frac{1}{4} \sin 2\theta, & b^{\text{V}} &= \frac{1}{8} [7 \cos^2 \theta - 4] \sin 2\theta, \\
 c^{\text{IV}} &= \frac{1}{4} (\cos^2 \theta + 1), & c^{\text{V}} &= \frac{1}{8} [7 \cos^4 \theta - 6 \cos^2 \theta + 1], \\
 & & d^{\text{V}} &= -\frac{7}{2} \sin 2\theta \cos^2 \theta, \\
 & & f^{\text{V}} &= -\frac{7}{16} (\cos^4 \theta - 1).
 \end{aligned} \tag{19}$$

$$O_2^0 = 3S_z^2 - S(S+1)$$

$$O_2^1 = \frac{1}{4} (S_z(S_+ + S_-) + (S_+ + S_-)S_z)$$

$$O_2^2 = \frac{1}{2} (S_+^2 + S_-^2)$$

$$O_4^0 = 35S_z^4 - [30S(S-1) - 25]S_z^2 - 6S(S+1) + 3S^2(S+1)^2$$

$$O_4^1 = \frac{1}{4} \{7S_z^3 - 3S(S+1)S_z - S_z\}(S_+ + S_-) +$$

$$+ (S_+ + S_-)(7S_z^3 - 3S(S+1)S_z - S_z)\}$$

$$O_4^2 = \frac{1}{4} \{[7S_z^2 - S(S+1) - 5](S_+^2 + S_-^2) + (S_+^2 + S_-^2)[7S_z^2 - S(S+1) - 5]\}$$

$$O_4^3 = \frac{1}{4} [S_z(S_+^3 + S_-^3) + (S_+^3 + S_-^3)S_z]$$

$$O_4^4 = \frac{1}{2} (S_+^4 + S_-^4)$$

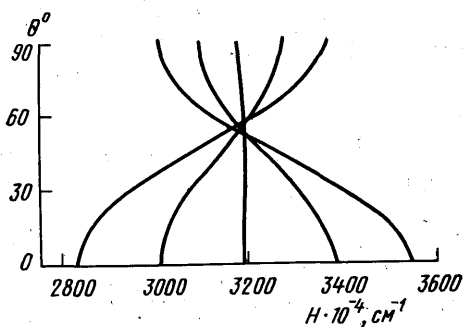
Рассмотренные в этом параграфе пять случаев симметрии окружения парамагнитного иона в силу своей идеализованности реализуются довольно редко. На практике встречаются в основном промежуточные случаи, характеризуемые

набором констант разных симметрий.

Тем не менее рассмотренные формулы весьма полезны по той простой причине, что указывают пути комбинации всевозможных констант в случае необходимости.

Примерный набор искаженных спин-гамильтонианов в недиагонализированном виде представлен в табл. 2, там же приводятся несколько способов обозначения констант и связь между ними. Подытоживая результаты табл. 2, можно выделить следующий набор спин-гамильтонианов.

Рис. 3.  $B_0^2 = 30 \cdot 10^{-4} \text{ см}^{-1}$ .  $H_0 = 3200 \text{ Э}$



1. Кубический.

$$\hat{H} = \frac{a}{120} [O_4^0 + 5O_4^4]. \quad (20)$$

2. Аксиальный.

$$\hat{H} = \frac{1}{3} DO_2^0, \quad (21)$$

Таблица 2

Симметрия	Характер возможного искажения симметрии	Связь между различными обозначениями констант	
Куб.	$B_4^0 [O_4^0 + 5O_4^4]$	$\frac{a}{120} [O_4^0 + 5O_4^4]$	$60B_4^0 = \frac{F}{3} = \frac{a}{2}$
Гекс.	$B_2^0 O_2^0 + B_4^0 O_4^0$	$\frac{D}{3} O_2^0 + \frac{F}{180} O_4^0$ $\frac{D}{3} O_2^0$	$3B_2^0 = D \quad 60B_4^0 = \frac{F}{3}$
Тетраг.	$B_2^0 O_2^0 + B_4^0 O_4^0 + B_4^4 O_4^4$	$\frac{D}{3} O_2^0 + \frac{F}{180} O_4^0 + \frac{a}{48} O_4^4$ $\frac{D}{3} O_2^0 + \frac{a}{48} O_4^4$ $\frac{D}{3} O_2^0 + \frac{a}{180} O_4^0$ $\frac{D}{3} O_2^0$	$3B_2^0 = D \quad 60B_4^0 = \frac{F}{3}$ $60B_4^4 = \frac{5}{2} a$
Тригон.	$B_2^0 O_2^0 + B_4^0 O_4^0 + B_4^3 O_4^3$	$B_2^0 O_2^0 + B_4^0 O_4^0 + B_4^3 O_4^3$ $\frac{D}{3} O_2^0 + \frac{F}{180} O_4^0$ $\frac{D}{3} O_2^0$	$3B_2^0 = D \quad 60B_4^0 = \frac{F}{3}$
Ромб.	$B_2^0 O_2^0 + B_2^2 O_2^2 +$ $+ B_4^0 O_4^0 + B_4^2 O_4^2 +$ $+ B_4^4 O_4^4$	$B_2^0 D_2^0 + B_2^2 O_2^2 + B_4^0 O_4^0 + B_4^2 O_4^2 + B_4^4 O_4^4$ $\frac{D}{3} O_2^0 + E O_2^2 + \frac{F}{180} O_4^0 + \frac{a}{48} O_4^4$ $\frac{D}{3} O_2^0 + E O_2^2 + \frac{a}{48} O_4^4$ $\frac{D}{3} O_2^0 + E O_2^2 + \frac{F}{180} O_4^0$ $\frac{D}{3} O_2^0 + E O_2^2$ $\frac{D}{3} O_2^0 + \frac{F}{180} O_4^0$ $\frac{D}{3} O_2^0 + \frac{a}{48} O_4^4$ $\frac{D}{3} O_2^0$	$3B_2^0 = D \quad B_2^2 = E$ $60B_4^0 = \frac{F}{3}$ $60B_4^4 = \frac{5}{2} a$

## 3. Гексагональный.

$$\hat{H} = \frac{1}{3} DO_2^0 + \frac{1}{130} FO_4^0. \quad (22)$$

$$4. \quad \hat{H} = \frac{1}{3} DO_2^0 + \frac{1}{48} aO_4^4. \quad (23)$$

## 5. Тетрагональный.

$$\hat{H} = \frac{1}{3} DO_2^0 + \frac{1}{180} FO_4^0 + \frac{1}{48} aO_4^4. \quad (24)$$

$$6. \quad \hat{H} = \frac{1}{3} DO_2^0 + EO_2^2. \quad (25)$$

$$7. \quad \hat{H} = \frac{1}{3} DO_2^0 + EO_2^2 + \frac{1}{180} FO_4^0. \quad (26)$$

$$8. \quad \hat{H} = \frac{1}{3} DO_2^0 + EO_2^2 + \frac{1}{48} aO_4^4. \quad (27)$$

$$9. \quad \hat{H} = \frac{1}{3} DO_2^0 + EO_2^2 + \frac{1}{180} FO_4^0 + \frac{1}{48} aO_4^4. \quad (28)$$

## 10. Тригональный.

$$\hat{H} = \frac{1}{3} DO_2^0 + \frac{1}{180} FO_4^0 + B_4^3 O_4^2. \quad (29)$$

## 11. Ромбический.

$$\hat{H} = \frac{1}{3} DO_2^0 + EO_2^2 + \frac{1}{180} FO_4^0 + B_4^2 O_4^2 + \frac{a}{48} O_4^4. \quad (30)$$

Видимо, вышеописанные комбинации (20)—(30) не исчерпывают экспериментально возможных ситуаций, и тем не менее эти выражения позволяют проанализировать качественный и количественный характеры угловой симметрии большинства вероятных спектров ЭПР магнитных систем с  $S=1; 3/2; 2,5/2$ .

На рис. 2—5 приводятся примеры угловых зависимостей ЭПР-спектров некоторых систем, причем константы спин-гамильтониана подбирались из опубликованных работ [20—29].



На рис. 2 показан угловой спектр системы с  $S=5/2$  для кубической симметрии.

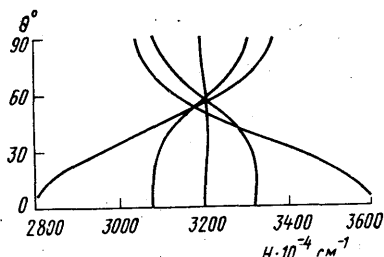


Рис. 4.  $B_2^0 = 30 \cdot 10^{-4} \text{ см}^{-1}$ ,  
 $B_4^0 = 0,2 \cdot 10^{-4} \text{ см}^{-1}$ ,  
 $H_0 = 3200 \text{ Э}$

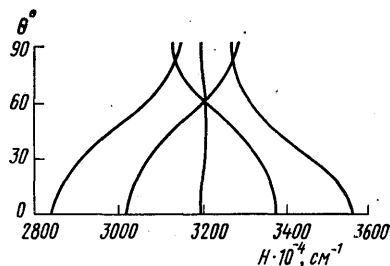


Рис. 5.  $B_2^0 = 30 \cdot 10^{-4} \text{ см}^{-1}$ ,  
 $B_2^2 = 30 \cdot 10^{-4} \text{ см}^{-1}$ ,  
 $B_4^4 = 2 \cdot 10^{-4} \text{ см}^{-1}$ ,  
 $H_0 = 3200 \text{ Э}$

На рис. 3 приводится аксиальный угловой спектр для системы с  $S=5/2$ . На рис. 4—5 даны угловые спектры промежуточных симметрий, отнесенных нами к числу «искаженных». На всех рисунках по оси абсцисс следует читать  $H$ , Э.

#### СПИСОК ЛИТЕРАТУРЫ

1. Лоу В. Парамагнитный резонанс в твердых телах. М., 1962.
2. Tanabe Y. „Phys. Soc. Jap.“, 1954, **9**, 766.
3. McClure D. S. „J. Chem. Phys.“, 1962, **36**, 2753.
4. Shankland T. I. „Phys. Chem. Solids“, 1968, **29**, 1907.
5. Macfarlane R. M. „Phys. Rev.“, 1968, **166**, 250.
6. Wood D. L. „J. Chem. Phys.“, 1968, **88**, 5255.
7. Koswig H. D. „Phys. Stat. Sol.“, 1965, **9**, 451.
8. Blunt R. E. „J. Chem. Phys.“, 1966, **44**, 2317.
9. Tiwari I. S. „Jap. J. Appl. Phys.“, 1968, **7**, 506.
10. Ishigame M. „Phys. Soc. Jap.“, 1968, **25**, 1629.
11. Анищенко Р. И., Николаев А. П., Мень А. Н. Спектроскопия кристаллов. Мат-лы II симп. по спектроскопии кристаллов. М., 1970.
12. Morigaki K. „Phys. Soc. Jap.“, 1963, **13**, 1174.
13. Pryce H. M. L. „Proc. Phys. Soc.“, 1950, **A 63**, 25.
14. Abragam A. „Proc. Phys. Soc.“, 1951, **A 205**, 135.
15. Judd B. R. „Proc. Roy. Soc.“, 1955, **A 277**, 552.
16. Сорин А. А., Власова М. В., Левандовский В. Д. Введение в радиоспектроскопию парамагнитных монокристаллов. Киев, 1969.
17. Леушин А. М. В кн.: Парамагнитный резонанс. Казань, 1964.
18. Sachs M. „Phys. Chem. Solids“, 1960, **15**, 291.
19. Bleaney B. „Phyl. Mag.“, 1951, **42**, 441.
20. Novak P., Navlicek V., Mill B. „Solid State Commun.“, 1976, **19**, 7, 631.
21. Мзевский В. М., Калабухова Е. Н., Круликовский Б. К., Максимова Х. К. «Физ. тверд. тела», 1976, **18**, 7, 2136.
22. Cotton S. A. „Chem. Phys. Lett.“, 1976, **41**, 3, 606.
23. Malinowski W. „Acta Phys. Pol.“, 1976, **A 50**, 1, 65.
24. Грунин В. С., Патрин И. Б. «Физ. тверд. тела», 1977, **19**, 3, 909.
25. Brown L. C. „Phys. Rev.“, 1954, **85**, 1110.
26. Винокуров И. В. «Физ. тверд. тела», 1964, **6**, 1125.
27. Ацаркин В. А., Лушков В. Г. «Физ. тверд. тела», 1965, **7**, 2367.
28. Бир Г. Л., Винокуров И. В. «Физ. тверд. тела», 1965, **7**, 3392.
29. Iri T. „Phys. Soc. Jap.“, 1968, **24**, 127.